

中國科学院
水利部 水利科学研究院

研究報告

3

水工建筑物土壤地基的沉降量与地基中的应力分布

水利出版社

1958年1月

目 錄

提 要	1
一、引 言	1
二、沉降量計算	2
三、 σ_z 与 Θ 的基本公式	4
四、水工建筑物地基中的应力分布	8
五、土壤常数 μ 及 E 等的测定	15
六、剛性基礎的沉降量估算	17
七、結 論	18
参考文献	19
英文提要	19

水工建築物土壤地基的沉降量 与地基中的应力分布

(土工 1)

黃文熙 張文正 俞仲泉

提 要

本文对于水工建筑物的均質和非均質土壤地基提供了一个考慮土壤側向变形影响的沉降量計算方法。文中也討論了一些代表土壤壓縮性質的指标的測定方法，并且指出在計算非均質的土壤地基中的应力分布时，可以按照这些指标在地基中变化的情况去选择適當的应力計算公式。文中并附有适合于各种不同荷重和地基条件的矩形与条形基礎应力表多种供設計者采用。此外对于剛性基礎的平均沉降量和轉动量也建議了簡捷的估算方法。

一、引 言

在計算水工和其他建筑物土壤地基的沉降量时，現在最通用的办法就是假定土壤在承受建筑物所引起的附加荷載时，不發生側向变形，这种假定是不符合地基土壤的实际情况的。苏联水工建筑物設計規范 Ty 24-103-40 “地基的地質技術計算”⁽¹⁾建議在編制 I 、 II 級建筑物的技術設計时，應該考慮到地基土壤側向变形的影响，并且推荐用弗洛林(Флорин, В. А.)的公式去計算沉降量。但是应用这个公式时，除掉計算土壤中的垂直法向应力 σ_z 外，还需要計算 σ_x 和 σ_y 兩個水平法向应力的值。由于 σ_x 和 σ_y 的計算公式非常繁复，并且又都是 μ 的函数，編制圖表也有困难，因此过去在設計的实践中很少采用这个方法去估計沉降量。

本文改進了弗洛林的沉降計算公式，采用了本文第一作者以前的建議⁽²⁾用三个法向应力之和 $\Theta = \sigma_x + \sigma_y + \sigma_z$ 这一个数值的計算去代替 σ_x 与 σ_y 兩個数值的計算。同时因 Θ 的計算公式也远較 σ_x 和 σ_y 的計算公式为簡單，所以經過这种改進后計算工作量可以大大减少。其次因为 $\Theta/1+\mu$ 这一比率不是 μ 的函数，因此也簡化了制应力表的工作。

天然地基是非均質的，地基中土壤的壓縮性常隨深度而變化。代表土壤壓縮性質的一個指標，“彈性系數” E 的數值通常是跟着深度的增加而增大的。這種現象在砂土中尤其特別顯著。在這種情況下地基中的應力分布就發生集中現象，實驗和理論研究⁽³⁾⁽⁴⁾⁽⁵⁾⁽⁶⁾⁽⁷⁾都証實了此說。本文建議採用一些半經驗公式以代鮑辛乃司克(Boussinesq)和西羅第(Cerruti⁽⁷⁾)的公式去計算非均質天然地基中的應力分布，并對這些經驗公式中所用的經驗常數即“集中因數” ν 的選擇提出了建議。

本文提出了矩形和條形基礎在垂直均布載重，垂直反對稱三角形分布載重和水平均布載重下地基中應力 σ_z 和 Θ 的公式，并制備了集中因數 ν 等於 3、4、5、6 时的應力表供水工建築物地基設計者應用。

本文討論了測定兩種土壤壓縮性質指標即“彈性系數” E 和“泊桑比” μ 的方法，并指出它們是土壤所受三個軸向壓力的函數。

對於如何根據柔性基礎的沉降計算結果去估算剛性基礎的平均沉降量和轉動量本文也提出了建議。

本文的研究工作是由第一作者負責進行的，論文也是他寫的，第二作者擔任本文中所附的矩形基礎垂直均布荷重以外的各種應力表的編制工作，并推導了矩形基礎在受垂直三角形分布荷重和水平均布荷重當 $\nu=5$ 及 $\nu=6$ 时的應力公式，第三作者擔任矩形基礎垂直均布荷重應力表的編制工作，并與第二作者分別編制了條形基礎垂直均布與三角形分布荷重應力表。第三作者負責計算的各表曾用第三作者名義在華東水利學院第一期院報中發表，由於那稿匆匆付印，未經詳校，公式和計算方面均有錯誤，已在本文中由第一及第二兩作者重新加以校正，故一切公式和表應以本文所發表者為準，北京水利科學研究院杜延齡，華東水利學院姜永泰諸同志均曾分別參加本文各種應力表的計算工作。本文曾經蔣彭年汪聞韶等同志校閱。

二、沉降量計算

令 σ_z ， σ_x ， σ_y 代表基礎荷載在地基中任何一點 M 处(該點坐標為 (x, y, z))所引起的三個附加法向應力。那麼在 M 点處的垂直應變為

$$\xi_z = \frac{1}{E} [\sigma_z - \mu(\sigma_x + \sigma_y)] \quad (1)$$

其中 E 和 μ 為 M 点處土壤的“彈性系數”和“泊桑比”。

$$\text{令 } \Theta = \sigma_z + \sigma_x + \sigma_y \quad (2)$$

Θ 代表法向應力之和，是一個不隨 x ， y ， z 坐標系統的選擇而變的一個不變數。將式(2)代入式(1)可得

$$\xi_z = \frac{1}{E} [(1 + \mu)\sigma_z - \mu\Theta] \quad (3)$$

根據彈性原理如土壤為完全彈性體，那麼由於法向應力之和的增加值 Θ 所引起的土壤單位體積變化量⁽⁸⁾為

$$\Delta = \frac{(1-2\mu)}{E} \Theta \quad (4)$$

因 $\Delta = \frac{\epsilon_1 - \epsilon_2}{1 + \epsilon_1}$ (5)

其中 ϵ_1 = 土壤未受基础荷载时的孔隙比,

ϵ_2 = 土壤受基础荷载后的孔隙比。

将式(5)代入式(4)可得

$$E = (1-2\mu) \frac{1+\epsilon_1}{\epsilon_1 - \epsilon_2} \Theta \quad (6)$$

将式(6)代入式(3)可得

$$\xi_z = \frac{1}{1-2\mu} \left[(1+\mu) \frac{\sigma_z}{\Theta} - \mu \right] \frac{\epsilon_1 - \epsilon_2}{1 + \epsilon_1} \quad (7)$$

式(7)是计算空间问题的地基沉降量的基本公式。

在平面问题, 因 $\sigma_y = \mu(\sigma_z + \sigma_x)$ (8)

故 $\Theta = \sigma_z + \sigma_x + \sigma_y = (1+\mu)(\sigma_z + \sigma_x)$ (9)

即 $\Theta = (1+\mu)\Theta'$ (10)

其中 $\Theta' = \sigma_x + \sigma_z$ (11)

将式(10)代入式(7)简化后可得

$$\xi_z = \frac{1}{1-2\mu} \left(\frac{\sigma_z}{\Theta'} - \mu \right) \frac{\epsilon_1 - \epsilon_2}{1 + \epsilon_1} \quad (12)$$

式(12)是计算平面问题的地基沉降量的基本方式^①。

在式(7)中如令

$$j = (1+\mu) \frac{\sigma_z}{\Theta} \quad (13)$$

式(12)中如令

$$j = \frac{\sigma_z}{\Theta'} \quad (14)$$

并令 $K = \frac{j-\mu}{1-2\mu}$ (15)

式(7)和式(12)就可写成

$$\xi_z = K \frac{\epsilon_1 - \epsilon_2}{1 + \epsilon_1} \quad (16)$$

式(16)是沉降计算的普遍公式, 对空间和平面问题都适用。它和不考虑侧向变形的单向沉降公式

$$\xi_z = \frac{\epsilon_1 - \epsilon_2}{1 + \epsilon_1} \quad (17)$$

相比较, 差别主要就在修正系数 K 。

利用式(16)就可用分层综合法求地基面上任何一点 X 的沉降值

① 在“地基的地质技术计算”脚本第31页所列公式(29)是错误的。可参考 Справочник по Гидротехнике, 1930г. с268。

$$\xi = \sum K \frac{e_1 - e_2}{1 + e_1} \cdot \Delta z \quad (18)$$

其步驟如下：

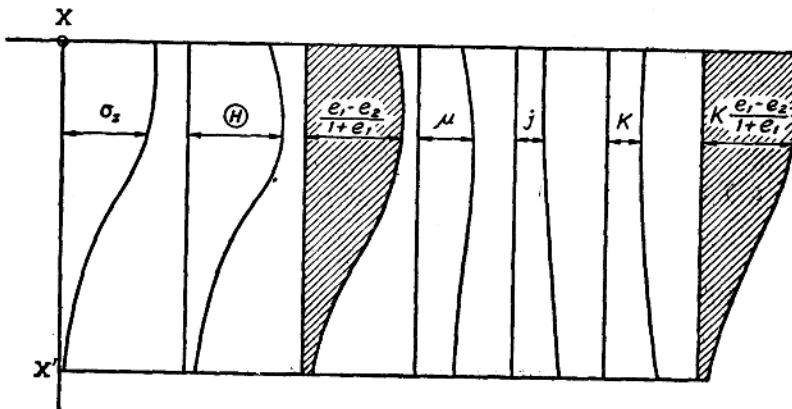


圖 1

沿 X 点画一垂直线 XX' , 沿此线计算 σ_z, θ (或 θ'), $\frac{e_1 - e_2}{1 + e_1}, \mu, j, K, K \frac{e_1 - e_2}{1 + e_1}$ 之值并作出曲线如圖 1 所示。圖中 $K = \frac{e_1 - e_2}{1 + e_1}$ 曲线所包括的有阴影面積就代表 X 点的沉降量。 $\frac{e_1 - e_2}{1 + e_1}$ 曲线所包括的面積代表不考慮側向变形时 X 点的沉降量。

三、 σ_z 与 θ 的基本公式

(1) 承載垂直集中力地基中的应力分布

設想 $z=0$ 之平面是地面, O 是所采坐标系的原点(圖 2)。如果在这原点上作用着一个垂直集中荷重 P , 那末根据鮑辛乃司克 (Boussinesq) 的研究⁽¹⁾, 如果地基是一个均質完全彈性体, 地基中任一点 M 所受的应力可用下式表示:

$$\left. \begin{aligned} \sigma_z &= \frac{3P}{2\pi R^2} \cos^3 \theta \\ \theta &= \frac{(1+\mu)P}{\pi R^2} \cos \theta \end{aligned} \right\} \quad (19)$$

式(19)内: R 与 θ 为 M 点的極坐标

司太納-寇克 (Steiner-Kick), 恩格 (Enger), 哥爾特貝克 (Goldbeck), 寇克裏 (Kögler) 夏迭許 (Scheidig) 与荷其 (Hugl) 等人的實驗⁽³⁾ 証明,

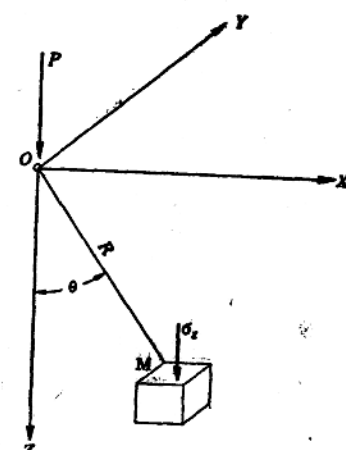


圖 2

在砂中， Z 軸附近的应力远較由鮑辛乃司克公式所求得的為高，勃羅維司加 (Borowicka, H.) 的理論研究⁽⁴⁾⁽⁵⁾也證明，如果地基的彈性系數 E 隨著深度增大，例如

$$E = kz \quad (20)$$

在 OZ 軸上各點的 σ_z 值與用上述鮑辛乃司克公式 (假定 $E = \text{常數}$) 所算得的 σ_z 值的比就如右表。

勃羅維司加這個研究說明，地基的 E 值如果隨著深度而增加 (一般土壤，特別是砂，的 E 是隨著所受側向壓力的增加而增大的)，地基中就將發生應力集中現象。同時應力集中的程度是隨著 E 和深度間的變化關係以及 μ 的數值而異的。

這種應力集中現象可用半經驗的數學公式來表示，弗蘭利希 (Fröhlich, O. K.) 格立非司 (Griffith) 與伊凡諾夫 (Иванов) 等的建議，⁽³⁾⁽⁷⁾對於 σ_z 可採用

$$\sigma_z = \frac{\nu P}{2\pi R^2} \cos^\nu \theta \quad (21)$$

對於 θ 作者建議採用⁽²⁾

$$\theta = \frac{\nu(1+\mu)P}{3\pi R^2} \cos^{\nu-2} \theta \quad (21a)$$

式中 ν 是一個經驗常數稱集中因數，當 $E = \text{常數}$ 時， $\nu = 3$ ，公式 (21) 和 (21a) 就代表鮑辛乃司克解答。

利用式 (21) 和 (21a) 計算地基中的應力分布，過去的困難是在不知道應該怎樣去選擇 ν 的數值。關於這個問題很多學者⁽¹⁰⁾⁽¹¹⁾都曾討論過，但沒有提出滿意的解答，因此也就限制了式 (21) 在實踐中的應用。

如果我們進一步的研究勃羅維司加等的理論研究結果，我們就會發現 ν 的選擇問題是可以得到解決的。在下表中，(1)、(2)、(3) 項代表勃羅維司加等的理論研究結果，

(1)	(2)	(3)	(4)	(5)	
E	μ	σ_z	ν	附 註	
常數	$0 < \mu < 1/2$	$\frac{3P}{2\pi R^2} \cos^3 \theta$	3	根據鮑辛乃司克研究結果	
kz	$1/2$	$\frac{3P}{2\pi R^2} \cos^3 \theta$	3	根據勃羅維司加研究結果	
kz	$1/3$	$\frac{2P}{\pi R^2} \cos^4 \theta$	4	"	
kz	$1/4$	無限級數	4.4	"	
kz	0	無限級數	5.3	"	
$kz^{1/2}$	0.4	$\frac{7P}{4\pi R^2} \cos^{7/2} \theta$	3.5	"	
kz^w	$\frac{1}{\nu-1} = \frac{1}{w+2}$	$\frac{\nu P}{2\pi R^2} \cos^\nu \theta$	$w+3$	根據渥特 (Öhde) 研究 ⁽¹⁾ 結果	

从这个表可以看出引起地基中应力集中的主要因素是 E 与地基深度间的变化关系以及 μ 的数值。如将上表第(3)项的 σ_z 理论公式与式(21)相比也就可以看出只要通过实地测验找出了 E 和深度的变化关系与 μ 的数值(参阅本文第四节)我们就可以根据上表中的第(4)项找得相当的 ν 值, 再代入式(21)和(21a)就可求得地基中的应力分布。

式(21)和(21a)是计算垂直集中荷重下非均质地基中应力分布的基本公式, 过去都把这个公式作为经验公式, 因此也常常引起这个公式是否可应用重合定理的问题, 根据勃罗维司加和渥特的研究结果(见上表)我们知道在 μ 等于某一定数值和 $E \cdot z$ 具有某一定的关系时, 式(21)所代表的是问题的严密的理论解答。这就是说这个解答满足弹性理论的平衡方程式和协调方程式, 并且也是以普遍化的霍克定律[即式(1)]作为整个理论的基础的, 因此像鲍辛乃司克公式一样, 它也适用重合定理。

(2) 承载水平集中力时地基中的应力分布

各向均质的完全弹性地基受水平集中荷载 P_w 时所引起的应力分布, 可以根据西罗第(Cerruti)的研究⁽⁷⁾结果, 用下式表示:

$$\left. \begin{aligned} \sigma_s &= \frac{3P_w}{2\pi R^2} \cos \varphi \sin \theta \cos^2 \theta \\ \Theta &= \frac{(1+\mu)P_w}{\pi R^2} \cos \varphi \sin \theta \end{aligned} \right\} (22)$$

在非均质的地基, 考虑应力集中的影响, 采用渥特(Ohde)建议⁽⁵⁾⁽⁷⁾选用下列与式(21)相当的半经验公式来计算 σ_z 。

$$\left. \begin{aligned} \sigma_z &= \frac{\nu(\nu-2)P_w}{2\pi R^2} \cos \varphi \sin \theta \cos^{\nu-1} \theta \\ \Theta &= \frac{\nu(\nu-2)(1+\mu)P_w}{3\pi R^2} \cos \varphi \sin \theta \cos^{\nu-3} \theta \end{aligned} \right\} (23)$$

(3) 承载垂直线形荷重时地基中的应力分布

如将式(21)及式(21a)沿了一平行于 Y 轴的直线积分, 可以求得垂直的线形集中荷重在非均质地基中引起的应力分布如下:

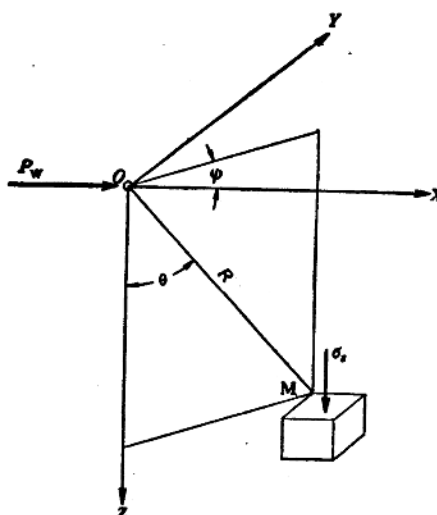


图 3

$$\left. \begin{aligned} \sigma_z &= \bar{f} \frac{p}{R} \cos^\nu \theta \\ \theta' &= \bar{f}_\theta \frac{p}{R} \cos^{\nu-2} \theta \end{aligned} \right\} (24)$$

其中 $\bar{f} = \frac{\nu}{\pi} \int_0^\infty \frac{dy}{(1+y^2)^{\frac{\nu+2}{2}}} =$

$$\left. \begin{aligned} &= \frac{1}{\sqrt{\pi}} \frac{\Gamma(\frac{\nu+1}{2})}{\Gamma(\frac{\nu}{2})} \\ \bar{f}_\theta &= \frac{2\nu}{3\pi} \int_0^\infty \frac{dy}{(1+y^2)^{\nu/2}} = \\ &= \frac{2\nu}{3(\nu-1)} \bar{f} \end{aligned} \right\} (25)$$

Γ 代表伽馬 (Gamma) 函数。

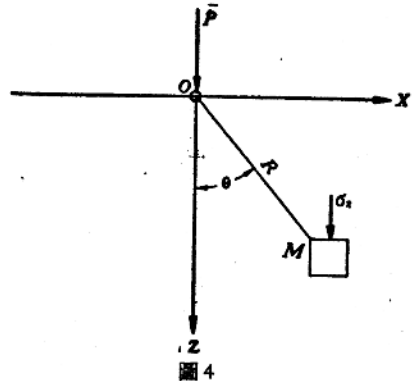


圖 4

ν	3	4	5	6
\bar{f}	$2/\pi$	$3/4$	$8/3\pi$	$15/16$
\bar{f}_θ	$2/\pi$	$2/3$	$20/9\pi$	$3/4$

(4) 承載水平線形集中荷重時地基中的應力分布

將式 (23) 沿了平行于 Y 軸的一一直線積分可以求得水平線形集中荷重在非均質地基中所引起的應力分布：

$$\left. \begin{aligned} \sigma_z &= \bar{f}_w \frac{p_w x}{R^2} \cos^{-1} \theta \\ \theta' &= \bar{f}_{w\theta} \frac{p_w x}{R^2} \cos^{\nu-3} \theta \end{aligned} \right\} (26)$$

其中

$$\left. \begin{aligned} \bar{f}_w &= \frac{\nu(\nu-2)}{\pi} \int_0^\infty \frac{dy}{(1+y^2)^{\frac{\nu+2}{2}}} = \\ &= \frac{\nu-2}{\sqrt{\pi}} \cdot \frac{\Gamma(\frac{\nu+1}{2})}{\Gamma(\frac{\nu}{2})} \\ \bar{f}_{w\theta} &= \frac{2\nu(\nu-2)}{3\pi} \int_0^\infty \frac{dy}{(1+y^2)^{\nu/2}} = \\ &= \frac{2\nu}{3(\nu-1)} \bar{f}_w \end{aligned} \right\} (27)$$

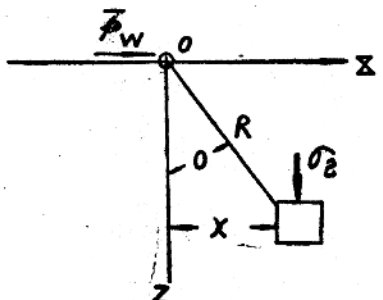


圖 5

ν	3	4	5	6
f_w	$2/\pi$	$3/\pi$	$8/\pi$	$15/\pi$
$f_{w\theta}$	$2/\pi$	$4/\pi$	$20/\pi$	3

上述式(21)及式(23)是計算空間問題地基应力的基本公式。式(24)及式(26)是計算平面問題地基应力的基本公式。

四、水工建筑物地基中的应力分布

建筑物的基礎和地基接觸面上的荷載分布一般都是隨着上層建築和地基的相對剛度以及地基土壤的穩定條件而異的。要準確解決這個問題需要首先解決這一系列的問題：(1)上層建築變形的絕對值(例如混凝土板或混凝土框架等等的位移的絕對數值)；(2)地基沉降量與荷載間的準確關係；(3)地基中部分地區的土壤的塑性變形所引起的基底接觸壓力的再分布(例如砂土地基，在基礎的邊緣的接觸壓力就不能超過相當於基礎砌置深度的土壤自重所引起的壓力)。由於目前在這幾個方面的研究還不夠全面和深入，因此按照現今各種彈性地基理論所求得的基礎底面的壓力分布，還不能認為滿意和可靠。同時不同的基礎底面接觸壓力的分布對於基礎設計雖然有影響，但它對於基礎的平均沉降量的影響却很小⁽¹²⁾⁽¹³⁾，因此在這種情況下為了適當地估計地基的沉降量，對於基底的壓力分布作一些簡單化的假定，是完全可以容許的。

一般水工建築物的基礎通常是矩形的和條形的。基礎和地基接觸面上的垂直荷載分布通常可以假定是梯形的，因此可以把它當作一個垂直均布荷重 p_0 與一個反對稱的垂直三角形分布荷重 $\pm p_t$ 的和(見圖6)。基礎和地基接觸面的水平荷載 p_w 可以假定是均布的。

利用上節所述的應力基本公式，〔式(21)，(23)，(24)，(26)〕可以用積分法求得矩形與條形基礎在受上述幾種基本荷載時的 σ_z 與 Θ 公式。

在下列各種公式中 b 代表基礎寬度 a 代表基礎長度(條形基礎 $a=\infty$)， z 代表

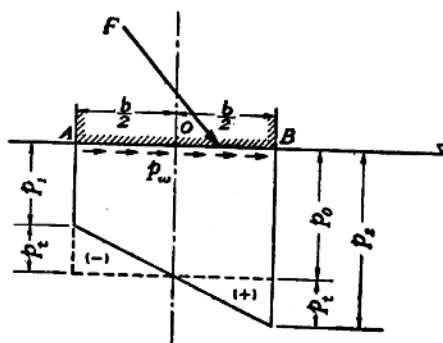


圖6

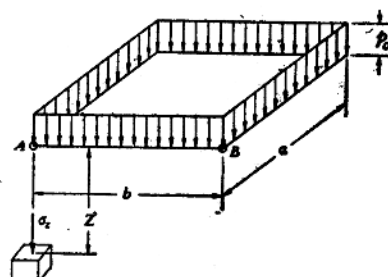


圖7

地基中某点(即求应力处)的深度,

$$m = a/b$$

$$n = z/b$$

同时荷重的强度在沿着基础长度的方向是假定没有变化的。

(1) 矩形基础; 垂直均布荷重

角点 A 及 B 下的应力:

$$\left. \begin{aligned} \sigma_s &= \alpha_0 p_0 \\ \Theta &= (1+\mu) \beta_0 p_0 \end{aligned} \right\} \quad (27)$$

$\nu = 3^{(5)(7)}$:

$$\left. \begin{aligned} \alpha_0 &= \frac{1}{2\pi} \left(\operatorname{arctg} \frac{m}{n\sqrt{1+m^2+n^2}} + \frac{mn}{\sqrt{1+m^2+n^2}} \left(\frac{1}{m^2+n^2} + \frac{1}{1+n^2} \right) \right) \\ \beta_0 &= \frac{1}{\pi} \left(\operatorname{arctg} \frac{m}{n\sqrt{1+m^2+n^2}} \right) \end{aligned} \right\} \quad (28)$$

式(28)的 α_0 及 β_0 值见附表 1-3 a (14) 及 1-3 b

$\nu = 4^{(5)(7)}$:

$$\left. \begin{aligned} \alpha_0 &= \frac{1}{2\pi} \left(\left(1 + \frac{1}{2} \frac{n^2}{1+n^2} \right) \frac{1}{\sqrt{1+n^2}} \operatorname{arctg} \frac{m}{\sqrt{1+n^2}} + \right. \\ &\quad \left. + \left(1 + \frac{1}{2} \frac{n^2}{n^2+m^2} \right) \frac{m}{\sqrt{m^2+n^2}} \operatorname{arctg} \frac{1}{\sqrt{m^2+n^2}} + \right. \\ &\quad \left. + \frac{mn^2}{2(1+m^2+n^2)} \left(\frac{1}{1+n^2} + \frac{1}{m^2+n^2} \right) \right) \\ \beta_0 &= \frac{2}{3\pi} \left(\frac{1}{\sqrt{1+n^2}} \operatorname{arctg} \frac{m}{\sqrt{1+n^2}} + \frac{m}{\sqrt{m^2+n^2}} \operatorname{arctg} \frac{1}{\sqrt{m^2+n^2}} \right) \end{aligned} \right\} \quad (29)$$

式中(29)的 α_0 及 β_0 值见附表 1-4a 及 1-4b

$\nu = 5^{(2)}$:

$$\left. \begin{aligned} \alpha_0 &= \frac{1}{2\pi} \left(\operatorname{arctg} \frac{m}{n\sqrt{1+m^2+n^2}} + \frac{mn}{(1+n^2)\sqrt{1+m^2+n^2}} \right. \\ &\quad \left. + \left\{ 1 + \frac{n^2}{3(1+m^2+n^2)} + \frac{2n^2}{3(1+n^2)} \right\} + \frac{mn}{(m^2+n^2)\sqrt{1+m^2+n^2}} \right. \\ &\quad \left. + \left\{ 1 + \frac{n^2}{3(1+m^2+n^2)} + \frac{2n^2}{3(m^2+n^2)} \right\} \right) \\ \beta_0 &= \frac{5}{9\pi} \left(\operatorname{arctg} \frac{m}{n\sqrt{1+m^2+n^2}} + \frac{mn}{\sqrt{1+m^2+n^2}} \left(\frac{1}{1+n^2} + \frac{1}{m^2+n^2} \right) \right) \end{aligned} \right\} \quad (30)$$

式(30)的 α_0 及 β_0 值见附表 1-5 a 及 1-5 b

$\nu = 6^{(2)}$:

$$\left. \begin{aligned} \alpha_0 &= \frac{1}{2\pi} \left(\frac{1}{\sqrt{1+n^2}} \operatorname{arctg} \frac{m}{\sqrt{1+n^2}} \left(1 + \frac{n^2}{2(1+n^2)} + \frac{3n^4}{8(1+n^2)^3} \right) + \right. \\ &\quad \left. + \frac{m}{\sqrt{m^2+n^2}} \operatorname{arctg} \frac{1}{\sqrt{m^2+n^2}} \left(1 + \frac{n^2}{2(m^2+n^2)} + \frac{3n^4}{8(m^2+n^2)^3} \right) \right) \end{aligned} \right\}$$

$$\begin{aligned}
 & + \frac{mn^2}{2(1+m^2+n^2)} \left\{ \frac{1}{1+n^2} \left(1 + \frac{n^2}{2(1+m^2+n^2)} + \frac{3n^2}{4(1+n^2)} \right) + \right. \\
 & \left. + \frac{1}{m^2+n^2} \left(1 + \frac{n^2}{2(1+m^2+n^2)} + \frac{3n^2}{4(m^2+n^2)} \right) \right\} \\
 \beta_0 = & \frac{1}{2\pi} \left(\left(1 + \frac{1}{2} \frac{n^2}{1+n^2} \right) \frac{1}{\sqrt{1+n^2}} \operatorname{arctg} \frac{m}{\sqrt{1+n^2}} + \right. \\
 & + \left(1 + \frac{1}{2} \frac{n^2}{m^2+n^2} \right) \frac{m}{\sqrt{m^2+n^2}} \operatorname{arctg} \frac{1}{\sqrt{m^2+n^2}} + \\
 & \left. + \frac{mn^2}{2(1+m^2+n^2)} \left(\frac{1}{1+n^2} + \frac{1}{m^2+n^2} \right) \right)
 \end{aligned} \quad \left. \right\} \quad (31)$$

式(31)的 α_0 及 β_0 值見附表 1—6 a 及 1—6 b。

(2) 矩形基礎：水平均布荷重

角点 A 下应力用負号，角点 B 下用正号

$$\begin{aligned}
 \sigma_z = & \mp \alpha_w p_w \\
 \Theta = & \mp (1+\mu) \beta_w p_w
 \end{aligned} \quad \left. \right\} \quad (32)$$

$\nu = 3^{(5)}(7)$:

$$\begin{aligned}
 \alpha_w = & \frac{1}{2\pi} \left(-\frac{m}{\sqrt{m^2+n^2}} - \right. \\
 & \left. - \frac{mn^2}{(1+n^2)\sqrt{1+m^2+n^2}} \right) \\
 \beta_w = & \frac{1}{\pi} \left(\lg_e \frac{\sqrt{1+n^2}}{n} \cdot \right. \\
 & \left. \cdot \frac{m+\sqrt{m^2+n^2}}{m+\sqrt{1+m^2+n^2}} \right)
 \end{aligned} \quad \left. \right\} \quad (33)$$

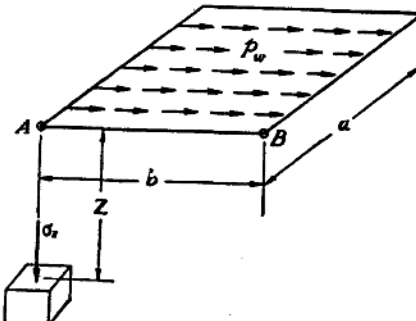


圖 8

式(33)的 α_w 及 β_w 值見附表 2—3 a 及 2—3 b。

$\nu = 4^{(5)}(7)$:

$$\begin{aligned}
 \alpha_w = & \frac{1}{2\pi} \left(\operatorname{arctg} \frac{m}{n} - \frac{n^3}{(1+n^2)\sqrt{1+n^2}} \operatorname{arctg} \frac{m}{\sqrt{1+n^2}} + \right. \\
 & \left. + mn \left\{ \frac{1}{m^2+n^2} - \frac{n^2}{(1+n^2)(1+m^2+n^2)} \right\} \right) \\
 \beta_w = & \frac{4}{3\pi} \left(\operatorname{arctg} \frac{m}{n} - \frac{n}{\sqrt{1+n^2}} \operatorname{arctg} \frac{m}{\sqrt{1+n^2}} \right)
 \end{aligned} \quad \left. \right\} \quad (34)$$

式(34)的 α_w 及 β_w 值見附表 2—4 a 及 2—4 b。

$\nu = 5$:

$$\begin{aligned}
 \alpha_w = & \frac{3}{2\pi} \left(-\frac{m}{\sqrt{m^2+n^2}} - \frac{m^3}{3(m^2+n^2)\sqrt{m^2+n^2}} - \frac{mn^4}{(1+n^2)^2\sqrt{1+m^2+n^2}} + \right. \\
 & \left. + \frac{m^3n^4}{3(1+n^2)^2(1+m^2+n^2)\sqrt{1+m^2+n^2}} \right) \\
 \beta_w = & \frac{5}{3\pi} \left(-\frac{m}{\sqrt{m^2+n^2}} - \frac{mn^3}{(1+n)^2\sqrt{1+m^2+n^2}} \right)
 \end{aligned} \quad \left. \right\} \quad (35)$$

式(35)的 α_w 及 β_w 值見附表 2—5 a 及 2—5 b。

$\nu=6:$

$$\left. \begin{aligned} \alpha_w &= \frac{1}{\pi} \left(\frac{mn^3}{2(m^2+n^2)^2} + \frac{3mn}{4(m^2+n^2)} + \frac{3}{4} \operatorname{arctg} \frac{m}{n} - \right. \\ &\quad \left. - \frac{mn^5}{2(1+n^2)(1+m^2+n^2)^2} - \frac{3mn^5}{4(1+n^2)^2(1+m^2+n^2)} - \right. \\ &\quad \left. - \frac{3n^5}{4(1+n^2)^2\sqrt{1+n^2}} \operatorname{arctg} \frac{m}{\sqrt{1+n^2}} \right) \\ \beta_w &= \frac{1}{\pi} \left(\frac{mn}{m^2+n^2} + \operatorname{arctg} \frac{m}{n} - \frac{mn^3}{(1+n^2)(1+m^2+n^2)} - \right. \\ &\quad \left. - \frac{n^3}{(1+n^2)\sqrt{1+n^2}} \operatorname{arctg} \frac{m}{\sqrt{1+n^2}} \right) \end{aligned} \right\} (36)$$

式(36)的 α_w 及 β_w 值見附表 2—6 a 及 2—6 b。

(3) 矩形基礎：反对称垂直三角形分布荷重

角点 A 的应力用负号，角点 B 的应力用正号

$$\left. \begin{aligned} \sigma_t &= \mp \alpha_t p_t \\ \Theta &= \mp (1+\mu) \beta_t p_t \end{aligned} \right\} (37)$$

$\nu=3:$

$$\left. \begin{aligned} \alpha_t &= \alpha_0 - 2n\alpha_w \\ \beta_t &= \beta_0 - 2n\beta_w \end{aligned} \right\} (38)$$

其中 α_0 及 β_0 值見式(28)， α_w 及 β_w 值見式(33)。式(38)中 α_t 及 β_t 值見附表 3—3 a 及 3—3 b。

$\nu=4:$

$$\left. \begin{aligned} \alpha_t &= \alpha_0 - n\alpha_w \\ \beta_t &= \beta_0 - n\beta_w \end{aligned} \right\} (39)$$

其中 α_0 及 β_0 值見式(29)， α_w 及 β_w 值見式(34)。式(39)中 α_t 及 β_t 值見附表 3—4 a 及 3—4 b。

$\nu=5:$

$$\left. \begin{aligned} \alpha_t &= \alpha_0 - \frac{2}{3}n\alpha_w \\ \beta_t &= \beta_0 - \frac{2}{3}n\beta_w \end{aligned} \right\} (40)$$

其中 α_0 及 β_0 值見式(30)， α_w 及 β_w 值見式(35)。式(40)中 α_t 及 β_t 值見附表 3—5 a 及 3—5 b。

$\nu=6:$

$$\left. \begin{aligned} \alpha_t &= \alpha_0 - \frac{n}{2}\alpha_w \\ \beta_t &= \beta_0 - \frac{n}{2}\beta_w \end{aligned} \right\} (41)$$

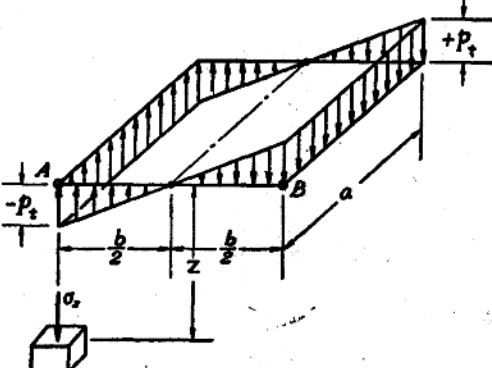


圖 9

其中 α_0 及 β_0 值見式(31)， α_w 及 β_w 值見式(36)。式(41)中 α_t 及 β_t 值見附表3-6 a 及 3-6 b。

(4) 矩形基礎：垂直三角分布荷重

角点 A 的应力是

$$\begin{aligned}\sigma_z &= \alpha'_t p'_t \\ \Theta' &= (1+\mu)\beta'_t p'_t\end{aligned}\} \quad (42)$$

$\nu = 3^{(15)}(16)$:

$$\begin{aligned}\alpha'_t &= n\alpha_w \\ \beta'_t &= n\beta_w\end{aligned}\} \quad (43)$$

式(43)中 α'_t 及 β'_t 值見附表4-3 a⁽¹⁵⁾及4-3 b。

$\nu = 4$:

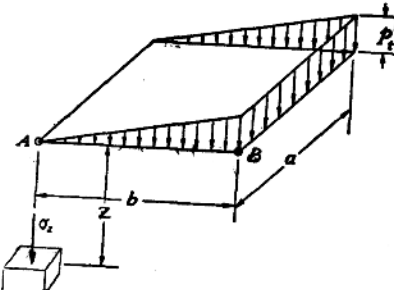


圖 10

$$\begin{aligned}\alpha'_t &= \frac{n}{2} \alpha_w \\ \beta'_t &= \frac{n}{2} \beta_w\end{aligned}\} \quad (44)$$

式(44)中 α'_t 及 β'_t 值見附表4-4 a 及 4-4 b。

$\nu = 5$:

$$\begin{aligned}\alpha'_t &= \frac{n}{3} \alpha_w \\ \beta'_t &= \frac{n}{3} \beta_w\end{aligned}\} \quad (45)$$

式(45)中 α'_t 及 β'_t 值見附表4-5 a 及 4-5 b。

$\nu = 6$:

$$\begin{aligned}\alpha'_t &= \frac{n}{4} \alpha_w \\ \beta'_t &= \frac{n}{4} \beta_w\end{aligned}\} \quad (46)$$

式(46)中 α'_t 及 β'_t 值見附表4-6 a 及 4-6 b。

(5) 条形基礎：垂直均布荷重

A 边及 B 边下应力为

$$\begin{aligned}\sigma_z &= \alpha_0 p_0 \\ \Theta' &= \beta_0 p_0\end{aligned}\} \quad (47)$$

$\nu = 3^{(17)}$:

$$\begin{aligned}\alpha_0 &= \frac{1}{\pi} \left(\operatorname{tg}^{-1} \frac{1}{n} + \frac{n}{1+n^2} \right) \\ \beta_0 &= \frac{2}{\pi} \operatorname{tg}^{-1} \frac{1}{n}\end{aligned}\} \quad (48)$$

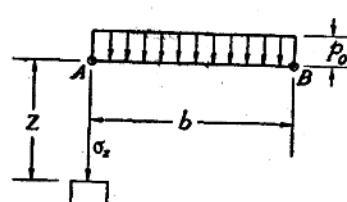


圖 11

$\nu=4$:

$$\left. \begin{aligned} \alpha_0 &= \frac{1}{2} \left(\frac{1}{\sqrt{1+n^2}} + \frac{n^2}{2(1+n^2)^{\frac{3}{2}}} \right) \\ \beta_0 &= \frac{2}{3} \cdot \frac{1}{\sqrt{1+n^2}} \end{aligned} \right\} \quad (49)$$

$\nu=5$:

$$\left. \begin{aligned} \alpha_0 &= \frac{1}{\pi} \left(\operatorname{tg}^{-1} \frac{1}{n} + \frac{n}{1+n^2} \left\{ 1 + \frac{2n^2}{3(1+n^2)} \right\} \right) \\ \beta_0 &= \frac{10}{9\pi} \left(\operatorname{tg}^{-1} \frac{1}{n} + \frac{n}{1+n^2} \right) \end{aligned} \right\} \quad (50)$$

$\nu=6$:

$$\left. \begin{aligned} \alpha_0 &= \frac{1}{2\sqrt{1+n^2}} \left(1 + \frac{n^2}{2(1+n^2)} + \frac{3n^4}{8(1+n^2)^2} \right) \\ \beta_0 &= \frac{1}{2\sqrt{1+n^2}} \left(1 + \frac{1}{2} - \frac{n^2}{(1+n^2)} \right) \end{aligned} \right\} \quad (51)$$

式(48)至(51)中 α_0 及 β_0 值見附表 5a 及 5b。

(6) 条形基礎：水平均布荷重

A 边的应力用負號，B 边用正號。

$$\left. \begin{aligned} \sigma_w &= \mp \alpha_w p_w \\ \theta' &= \mp \beta_w p_w \end{aligned} \right\} \quad (52)$$

$\nu=3^{(1)}$:

$$\left. \begin{aligned} \alpha_w &= \frac{1}{\pi} \left(\frac{1}{1+n^2} \right) \\ \beta_w &= \frac{1}{\pi} \log_e \left(\frac{1+n^2}{n^2} \right) \end{aligned} \right\} \quad (53)$$

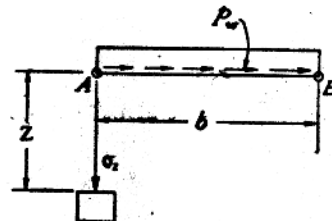


圖 12

$\nu=4$:

$$\left. \begin{aligned} \alpha_w &= \frac{1}{2} \left(1 - \frac{n^3}{(1+n^2)^{\frac{3}{2}}} \right) \\ \beta_w &= \frac{4}{3} \left(1 - \frac{n}{\sqrt{1+n^2}} \right) \end{aligned} \right\} \quad (54)$$

$\nu=5$:

$$\left. \begin{aligned} \alpha_w &= \frac{2}{\pi} \left(1 - \frac{n^4}{(1+n^2)^2} \right) \\ \beta_w &= \frac{10}{3\pi} \left(1 - \frac{n^2}{1+n^2} \right) \end{aligned} \right\} \quad (55)$$

$\nu=6$:

$$\left. \begin{aligned} \alpha_w &= \frac{3}{4} \left(1 - \frac{n^5}{(1+n^2)^{\frac{5}{2}}} \right) \\ \beta_w &= \left(1 - \frac{n^3}{(1+n^2)^{\frac{3}{2}}} \right) \end{aligned} \right\} \quad (56)$$

式(53)至(56)中 α_w 及 β_w 值見附表6a及6b。

(7) 条形基礎：反对称垂直三角形分布荷重

A边下应力用负号，B边下应力用正号

$$\left. \begin{array}{l} \sigma_z = \mp \alpha_t p_t \\ \Theta' = \mp \beta_t p_t \end{array} \right\} (57)$$

$\nu=3$:

$$\left. \begin{array}{l} \alpha_t = \alpha_0 - 2n\alpha_w \\ \beta_t = \beta_0 - 2n\beta_w \end{array} \right\} (58)$$

其中 α_0 及 β_0 值見式(48)， α_w 及 β_w 值見式(53)。

$\nu=4$:

$$\left. \begin{array}{l} \alpha_t = \alpha_0 - n\alpha_w \\ \beta_t = \beta_0 - n\beta_w \end{array} \right\} (59)$$

其中 α_0 及 β_0 值見式(49)， α_w 及 β_w 值見式(54)。

$\nu=5$:

$$\left. \begin{array}{l} \alpha_t = \alpha_0 - \frac{2n}{3}\alpha_w \\ \beta_t = \beta_0 - \frac{2n}{3}\beta_w \end{array} \right\} (60)$$

其中 α_0 及 β_0 值見式(50)， α_w 及 β_w 值見式(55)。

$\nu=6$:

$$\left. \begin{array}{l} \alpha_t = \alpha_0 - \frac{n}{2}\alpha_w \\ \beta_t = \beta_0 - \frac{n}{2}\beta_w \end{array} \right\} (61)$$

其中 α_0 及 β_0 值見式(51)， α_w 及 β_w 值見式(56)。上述(58)至(61)式中 α_t 及 β_t 值見附表7a及7b。

(8) 条形基礎：垂直三角形分布荷重

A边下应力：

$$\left. \begin{array}{l} \sigma_z = \alpha'_t p'_t \\ \Theta' = \beta'_t p'_t \end{array} \right\} (62)$$

$\nu=3^{(17)}$:

$$\left. \begin{array}{l} \alpha'_t = n\alpha_w \\ \beta'_t = n\beta_w \end{array} \right\} (63)$$

其中 α_w 及 β_w 值見式(53)。

$\nu=4$:

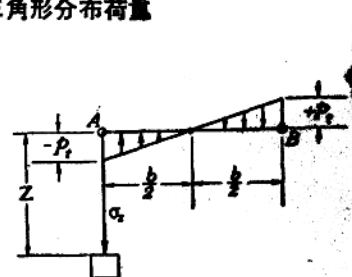


圖 13

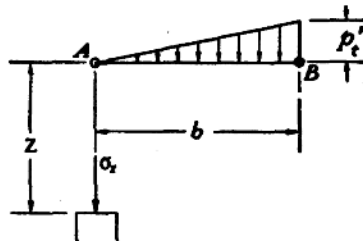


圖 14

$$\left. \begin{array}{l} \alpha'_t = \frac{n}{2} \alpha_w \\ \beta'_t = \frac{n}{2} \beta_w \end{array} \right\} \quad (64)$$

其中 α_w 及 β_w 值見式(54)。

$\nu=5$:

$$\left. \begin{array}{l} \alpha'_t = \frac{n}{3} \alpha_w \\ \beta'_t = \frac{n}{3} \beta_w \end{array} \right\} \quad (65)$$

其中 α_w 及 β_w 值見式(55)。

$\nu=6$:

$$\left. \begin{array}{l} \alpha'_t = \frac{n}{4} \alpha_w \\ \beta'_t = \frac{n}{4} \beta_w \end{array} \right\} \quad (66)$$

其中 α_w 及 β_w 值見式(56)。

上述式(63)至(66)中 α'_t 及 β'_t 值見附表 8a 及 8b。

五、土壤常數 μ 及 E 等的測定

在應用本文第二節所述方法計算沉降量時，需要測定兩個土壤常數，即“泊桑比” μ 與“彈性系數” E 的數值。這兩個數值對於一般土壤來說都不是常數，它們是隨土壤的密度，三向受力狀態等因素而異的⁽¹⁸⁾ ⁽¹⁹⁾。根據式(4)可見如土體在 x , y , z 三個軸的方向所受的壓力相等，即 $\sigma_x = \sigma_y = \sigma_z = p_0$, $\Theta = 3p_0$ 那末土的單位體積變化量是，

$$\Delta = 3 \frac{(1-2\mu)}{E} p_0 \quad (67)$$

如果土體受的是單向壓力 p_x 即 $p_x = p_y = 0$, $\Theta = p_x$ 那末

$$\Delta = \frac{(1-2\mu)}{E} p_x \quad (68)$$

比較上述二式可見如果

$$p_0 = \frac{p_x}{3}$$

那末在這兩種不同的荷重下土體的單位體積變化量應該相等。但是事實却並非如此。根據愛丁(Eidin)⁽²⁰⁾的實驗結果，各種土壤的 p_0 與 p_x 之間的關係實際上應該用下式表明，即

$$p_0 = \delta \cdot p_x \quad (69)$$

其中 δ 之值對於某些塑性粘土可以大至(+0.8)，對於某些中密與密實的砂土可以小至(-0.8)。愛丁的試驗結果見下表：